

## II-135 二変数指數分布の母数推定に関する 2, 3 の数値実験的検討

京都大学防災研究所	正員	○長尾正志
京都大学防災研究所	正員	角屋睦
建設省土木研究所	正員	白波瀬正道

### 1. 概説

昨年度の報告で二変数指數分布の母数推定さらに本年度別稿でその二変数ガニマ分布への拡張を理論的に行なったが、はたしてその推定値がどの程度信頼でき実用に供し得るかがつきの問題となる。このためには、もちろん、推定理論の誘導過程を逐次吟味していくことによってある程度の解決はできようが、解析的に未解明な点も多々し、また、たとえば積率解と最尤解ではどのような差違がありどの場合にどちらを使った方が良いといいた問題では、それそれの解法にそれ相応の理論的根拠があり、現在のところ解析的手法だけでは完全に解明し難い面を多分に含んでいる。さて、このような問題を究明する有力な手段として、電子計算機上で乱数発生およびその統計処理を行ない現象を再現しようとする、いわゆる統計的数値実験の手法が開発されつつある。本研究は、このような手法を用いて二変数指數分布の母数推定の理論結果を実証的に検討しようとしたものである。すなわち、原実母数、尺度母数および相関母数が既知の二変数指數分布に属する二変数指數型標本を多基準複数発生させ、各推定法により母数を推定し、その結果を比較・考察したものである。なお、原実母数はとくに〇と仮定しても一般性を失はないので、 $V=0$ と仮定して議論しておく。

### 2. 全標本による母数推定値の検討

#### 1) 標本発生法

a. 標本発生手法の手順；まず、二変数指數分布の理論に従って、母数をすべて与えた場合の確率変数の組 $(XE, YE)$ を、電子計算機内で発生させた乱数を使って逐次発生させていく。その手順は、図-1 に示すとおりであるが、概要は以下のようである。最初に区間 $(0, 1)$ の一様乱数を発生させ、それを指數変換することによって一変数の指數乱数列 $XE$ を得る。つぎに指數乱数 $XE$ を与えたときの条件付非超過確率 $F(YE|XE)$ として別に発生させた区間 $(0, 1)$ の一様乱数を用いて、対応する指數乱数列 $YE$ を算出する。以下に、具体的な計算手法を示そう。

b. 具体的手法； 1) 標本コ数 $N$ 、組数 $M$ を選定する。2) 模似一様乱数 $XZ, Z'$ を発生させる。3) 模似一様乱数について一様性の検定（ $X^2$ 検定）と異常値の検定を行ない、合格したものを一様乱数 $XZ, Z'$ とする。4)  $XE = -\sigma_1 \log XZ$ ,  $XZ$ を尺度母数の指數変量に変換する。ただしここでは $\sigma_1 = 1$ を採用する。5) 相関母数 $\rho_2$ を仮定し、規準化指數乱数 $\xi = XE/\sigma_2$ を与えた場合に対応する規準化指數乱数 $\eta = YE/\sigma_2$ を、すでに計算ずみの条件付非超過確率 $F = F_p(\eta|\xi)$ に一様乱数 $Z'$ を与えて算出する。6)  $YE = \sigma_2 \eta$ ,  $\eta$ を尺度母数の指數乱数 $YE$ に変換する。ただしここでは $\sigma_2 = 1$ を採用している。

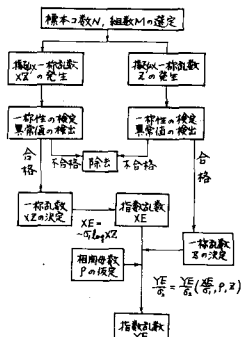


図-1 標本発生の手順

C. 設定標本；計算上の標本として、各組200コの標本系列を分割して標本数200, 100, 50, 25の標本を作製した。すなわち、4000コの擬似乱数資料のうち1000コを一様性・異常値の検定で棄却し、残った3000コを一様乱数標本として採用し、標本数  $N = 200, 100, 50, 25$  の標本をそれぞれ組数  $M = 15, 30, 60, 120$  組用意した。

### 2) 周辺分布の母数推定値の変動

いま原実母数を0と仮定しているので、周辺分布に関係する母数は  $\sigma_1, \sigma_2$  である。この推定値  $\hat{\sigma}_1 = \bar{X}_E, \hat{\sigma}_2 = \bar{Y}_E$  の計算結果を、 $P = 0.8$  で標本数  $N$  について示したもののが図-2(a), (b) である。図の上側に実際の推定値の変動を0.05の階級に分けた頻度分布のヒストグラムで、その平均値の位置を横線で、また下側にその変動係数を示す。これをみると、 $\hat{\sigma}_1, \hat{\sigma}_2$  の平均値は、全般に、仮定値  $\sigma_1 = \sigma_2 = 1$  より僅かに小さくなっているが、全体としてこのような推定によつて尺度母数はほぼ正確に推定し得るといえよう。なお、 $P = 0.2, 0.4, 0.6$  についても同じ傾向がみられ、相関母数による差異は認められない。

### 3) 相関母数の推定値の変動

このように発生させた標本の尺度母数が、当初仮定した  $\sigma_1 = \sigma_2 = 1$  より若干異なることを予想してつきの5つの統計量を算出し、相関母数の推定精度の議論対象とした。

- $R_m(X, Y) = (\bar{X}_E \cdot \bar{Y}_E - \bar{X}_E \cdot \bar{Y}_E) / (\bar{X}_E \cdot \bar{Y}_E)$  ;  $X_E, Y_E$  がそれぞれ  $\sigma_1, \sigma_2$  の尺度母数をもつ周辺分布に従うとした場合の積率解。
- $R_L(X, Y)$ ;  $\xi = X_E / \hat{\sigma}_1, \eta = Y_E / \hat{\sigma}_2$  を用いて標準化し直した場合の最尤解。
- $R_m(\xi, \eta)$ ; 発生された指數乱数が完全に標準化されている（すなわち  $\sigma_1 = \sigma_2 = 1$  が成立）とした場合の積率解。
- $R_L(\xi, \eta)$ ; 発生された指數乱数が完全に標準化されているとした最尤解。
- $r = (\bar{X}_E \cdot \bar{Y}_E - \bar{X}_E \cdot \bar{Y}_E) / (S_X \cdot S_Y)$ ; 標本相関係数、ただし  $S_X, S_Y$  は  $X_E, Y_E$  の標準偏差。

以上の統計量による相関母数の推定結果を、推定値の頻度分布、平均値、変動係数を用ひて、 $P = 0.8, N = 200$  について示したのが図-3である。最尤解は、他の推定値より平均的にもまた変動の少ないことからも良好な推定結果を与える、尺度母数の相違の影響もほとんどないといえる。なお、発生された  $X_E, Y_E$  が完全に指數分布に従っていれば、たとえば  $X_E$  について、

$$S_X = \sqrt{\bar{X}_E^2 - (\bar{X}_E)^2} = \sqrt{2\sigma_1^2 - \sigma_1^2} = \sigma_1 = \bar{X}_E$$

であるから、積率解と標本相関係数は完全に一致するはずであるが、

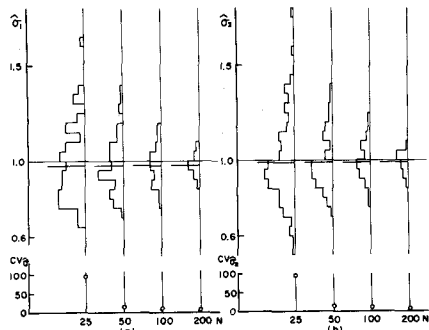


図-2 尺度母数の推定値の分布、平均値、変動係数  
( $P = 0.8$ )

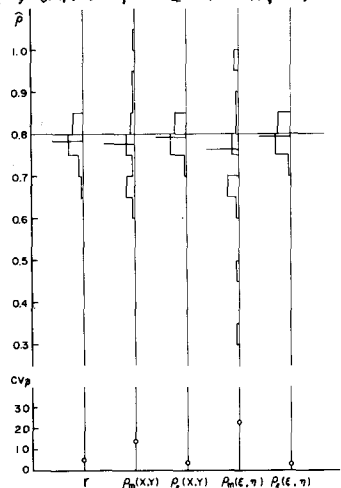


図-3 各推定法による相関母数の推定値の分布、平均値、変動係数  
( $P = 0.8, N = 200$ )

ここでは、両者は若干異なる結果を与えている。

なお、上記ii), iv)の計算に必要な最大解は次式

$$\hat{\rho} = \left[ \frac{1}{N} \sum_{i=1}^N - \frac{I_1 \left( \frac{2\sqrt{\hat{\rho}} \xi_i \eta_i}{1-\hat{\rho}} \right)}{I_0 \left( \frac{2\sqrt{\hat{\rho}} \xi_i \eta_i}{1-\hat{\rho}} \right)} \sqrt{\xi_i \eta_i} \right]^2 \quad (1)$$

ここに

$$\xi_i = (XE)_i / \hat{\sigma}_1, \quad \eta_i = (YE)_i / \hat{\sigma}_2 \quad (2)$$

で試算的に求めざるを得ないので以下の方法によ

った。すなわち、まず $\rho$ の初期値 $\rho_1 = \rho_1$ を仮定し、

(1) 式の左辺を計算して求めた $\rho = \rho_2$ との差 $\Delta\rho = \rho_2 - \rho_1$ を $\rho_1$ についてプロットすると、たとえば図

-4 のようになる。最大解は $\Delta\rho = 0$ を満す $\rho$ であるから、 $\Delta\rho$ が符号を変える $\rho_1$ の前後の値から直線近似によって $\Delta\rho = 0$ となる $\rho = \rho_1$ を最大解とした。

つぎに仮定した $\rho$ に対する標本相関係数 $r$ による推定結果を述べ

る。図-5 は $\rho = 0.8$ に対する各標本数 $N$ についての $r$ の頻度分布、平均値を示したものである。このように全般に標本数 $N$ が大きくなると $r$ の平均値 $E(r)$ は仮定した $\rho$ に近づき、その変動係数も小さくなる傾向が認められるが、いまの場合、標本数 $N$ が増すにつれて組数 $M$ が $N$ に反比例して減少するように標本抽出を行なっていきたために、 $N = 100$ の場合に $E(r)$ が $\rho$ にもっとも近いという結果が出ている。

### 3. 部分標本による母数推定値の検討

#### 1) 部分標本の選定

ここでは、部分標本として、 $N$ コの全標本 $(XE, YE)$ の中から $XE$ がある限界 $XC$ 以上 $n$ コの上位標本のみを使用して母数を推定し、仮定した母数との比較を行なっていいる。

#### 2) 周辺分布の母数推定値の変動

以後、 $XE, YE$ に関する母数にはそれぞれ添字1, 2を付けることにする。原発母数 $\sigma_1$ 、尺度母数 $\sigma_1$ の上位標本 $XE_{(j)}$  ( $j = N-n+1, \dots, N$ ) による推定値は一般に次式で与えられる。

$$\hat{\sigma}_1 = XE_{(N-n+1)} - \left( \sum_{j=N-n+1}^N XE_{(j)} / n - XE_{(N-n+1)} \right) \log(N/n)$$

$$\hat{\sigma}_1 = \sum_{j=N-n+1}^N XE_{(j)} / n - XE_{(N-n+1)}, \quad (XE_{(j)}; XE \text{ の } j \text{ 番目順序統計量})$$

$\rho = 0.8, N = 200, n = 200, 100, 50$  に対するこの計算結果を図-6 に、推定値の密度分布、平均値、標準偏差を示す。いまの場合、 $V_1 = 0, \sigma_1 = 1$  の標本が発生されているはずであるから、標本比 $n/N$ が小さくなるにつれて、平均値が仮定値より離れ、かつ標準偏差も大きくなるが、この例ではほむ $n/N \geq 1/2$ であれば推定精度は良好であるといえよう。

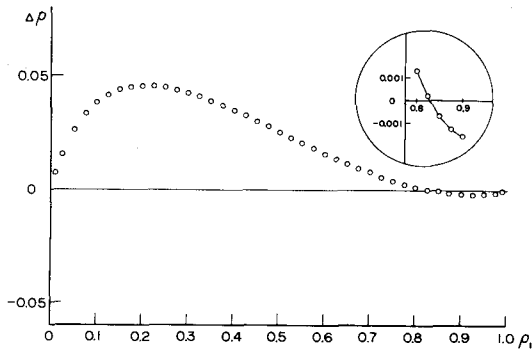


図-4 相関母数の最大解 $\rho_1(\xi_i, \eta_i)$ の計算例 ( $\rho = 0.8$ )

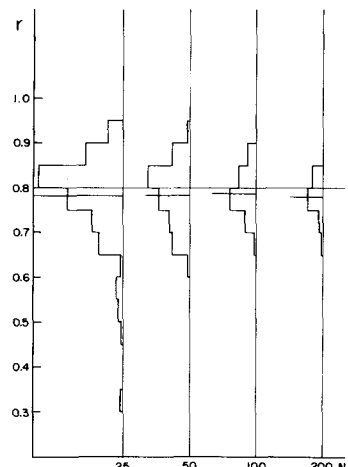


図-5 標本相関係数の頻度分布  
と平均値 ( $\rho = 0.8$ )

} (3)

### 3) 相関母数 $\hat{\sigma}_1$

推定値の変動

標本が完全に規

準化されていると

した場合の最尤解

$\hat{r}_L(\xi, \eta)$  および

上位標本に対して

通常の方法で求め

た標本相関係数  $r_L$

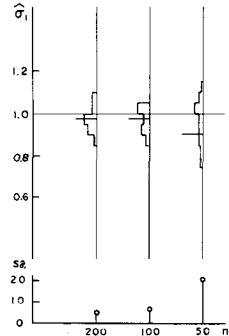


図-6  $\hat{\sigma}_1, \hat{r}_L$  の分布、平均値、標準偏差  
( $\rho = 0.8, N = 200$ )

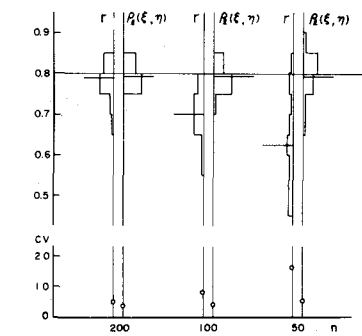
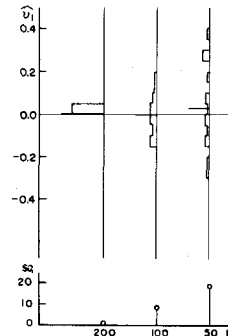


図-7  $\hat{r}_L(\xi, \eta), r$  の分布、平均値、  
変動係数 ( $\rho = 0.8, N = 200$ )

の分布、平均値、変動係数を  $\rho = 0.8, N = 200$  について図-7 に示す。当然  $n/N$  が小さくなるにつれて変動係数は大きくなるが  $\hat{r}_L(\xi, \eta)$  は平均的にみてほぼ正しく  $P$  を推定しているといえる。これに対して、 $r$  は  $n/N$  の減少につれて変動係数が急激に増加するのみならず、平均的にも仮定した  $P$  らから大きく離れてくる。したがって、このような部分標本に対する相関母数の推定に標本相関係数を用いることは不適当であることが分る。

### 4. 部分標本を全標本とみなした回帰特性の検討

いま入手し得る標本として上位標本しかなく、全標本数  $N$  も不明である場合を想定する。このような場合、独立変量  $X$  より従属変量  $Y$  の推定には、通常  $\hat{Y} = \bar{Y} + r(S_Y/S_X)(X - \bar{X})$  の回帰特性が利用されるが、二変数指數型変数の上位標本において、これが正しく推定されるかどうかを検討してみる。

a. 理論的検討；まず上位標本から回帰特性に関する統計量を導いておく。上位標本に対する  $XE$ ,  $YE$  の平均値をそれぞれ  $\bar{X}_C$ ,  $\bar{Y}_C$ , 分散を  $S_{XC}^2$ ,  $S_{YC}^2$ , 共分散を  $CV_c$  とおき、それらはそれぞれつきのように求められる。

$$\bar{X}_C = XC + \sigma_1, \quad \bar{Y}_C = \rho \frac{\sigma_2}{\sigma_1} XC + \sigma_2, \quad S_{XC}^2 = \sigma_1^2, \quad S_{YC}^2 = \sigma_2^2 + 2 \frac{\sigma_2}{\sigma_1} \rho (1-\rho) XC, \quad CV_c = \rho \sigma_2 / \sigma_1 \quad (4)$$

したがって、上位標本に対する相関係数  $r_c$  、さらに回帰係数  $\beta_c$  はそれぞれ次式のようになる。

$$\beta_c = CV_c / (S_{XC} S_{YC}) = \rho / \sqrt{2\rho(1-\rho)(XC/\sigma_1) + 1}, \quad \beta_c = r_c S_{YC} / S_{XC} = \rho \sigma_2 / \sigma_1, \quad (5)$$

以上により、上位標本を全標本とみなした回帰直線の式  $YE - \bar{Y}_C = \beta_c (XE - \bar{X}_C)$  は、結局全標本に対する式  $YE - \sigma_2 = \rho (\sigma_2 / \sigma_1) (XE - \sigma_1)$  と全く同じ形式で表現できることが示される。

b. 数値実験による検討；以上を発生標本について数値的に検討したのが図-8 である。一方、 $\sigma_1 = \sigma_2 = 1$  を仮定した理論的な回帰曲線式は、 $YE = 0.8XE + 0.2$  であり、いすれも上記の理論的結果を裏付けているものといえる。

参考文献 長尾正志・角屋睦；二変数指數分布とその適用に関する研究、土木学会25回年次講演会概要集、昭45.11,  
II-59, pp. 169-172.

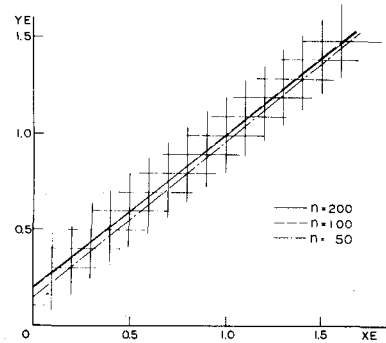


図-8 上位標本による回帰曲線の推定  
( $\rho = 0.8, N = 200$ )